

Метод двух интерферометров (при толщине второго интерферометра 30 мм) дал тот же результат при несколько большей погрешности.

Для проверки воспроизводимости получаемых результатов с интервалом 1 и 6 месяцев были проведены серии измерений  $\lambda_x$  по  $\lambda_s$ , которые дали незначимые отклонения. В работе [11] опубликован результат измерений длины волны ОКГ такого же типа, с которым наш результат совпадает. Воспроизводимость значения длины волны ОКГ данного типа и данной конструкции, а также наличие средств сличения (ОКГ на  $^3\text{He}-^{22}\text{Ne}/\text{CH}_4$ , интерферометр Майкельсона со счетом интерференционных полос, установка для абсолютных измерений длин волн) дают основание представить указанные ОКГ к аттестации в качестве рабочих эталонов единицы длины для спектроскопии.

## ЛИТЕРАТУРА

1. Н. Р. Батарчукова, Ц. И. Глозман, Л. А. Ирикова, А. И. Карташев, Е. А. Птицина. Государственный специальный эталон длины для спектроскопии в диапазоне 0,186—30 мкм.—«Измерительная техника», 1974, № 6, с. 49.
2. В. П. Короневич, Г. А. Ленкова. Лазерный интерферометр для измерения длины.—«Автометрия», 1971, № 1, с. 4.
3. Всесоюзный симпозиум по физике газовых лазеров. (Тезисы докладов.) Новосибирск, «Наука», 1975.
4. В. И. Бобрик, В. Г. Гольдорт, Ю. Д. Коломников, Ю. Я. Печерский. Стабилизированные по частоте ОКГ.—«Измерительная техника», 1974, № 8, с. 67.
5. С. Н. Багаев, Ю. Д. Коломников, В. П. Чеботаев. Стабилизация и воспроизводимость частоты гелий-неонового лазера на 0,63 мкм.—«Измерительная техника», 1968, № 8, с. 27.
6. Г. М. Страховский, В. М. Татаренков, А. Н. Титов. Стабилизация частоты гелий-неонового ОКГ на 0,63 мкм с внутренней поглощающей ячейкой.—«Измерительная техника», 1970, № 12, с. 25.
7. Б. Л. Буковский, Л. А. Кончухидзе, А. К. Торопов. Установка для измерения длин волн ОКГ в инфракрасной области.—Труды СНИИМ. Вып. 9. Новосибирск, 1971, с. 36.
8. Рекомендации Консультативного комитета по определению метра (июнь 1973 г.).—“J. Terrien Metrologia”, 1974, vol. 10, № 2, p. 75.
9. Д. А. Соломаха. Систематические погрешности измерения длин волн ОКГ при помощи интерферометра Фабри — Пере.—«Измерительная техника», 1973, № 8, с. 32.
10. Г. В. Розенберг. Оптика тонкослойных покрытий, М., Физматгиз, 1958. 296 с.
11. Н. А. Калинин. Абсолютные измерения длины волны 633 нм гелий-неонового лазера с внутренней поглощающей ячейкой.—«Измерительная техника», 1968, № 12, с. 27.

Поступило в редакцию 5 февраля 1976 г.

УДК 621.375.826

Н. К. БЕРГЕР, Е. Н. БОНДАРЧУК, В. В. ДЕМБОВЕЦКИЙ  
(Хабаровск)

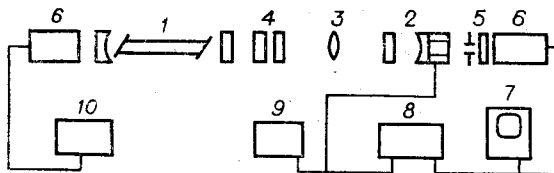
## МЕТОД ИЗМЕРЕНИЯ КОЭФФИЦИЕНТА ОТРАЖЕНИЯ ЛАЗЕРНЫХ ЗЕРКАЛ

Для большинства исследований, связанных с применением лазеров, необходимо знать добротность резонатора, которая определяется коэффициентом отражения зеркал. У лазеров с малым усилением этот коэффициент близок к единице. Определение коэффициента отражения обычным способом, например методом спектрофотометрирования, не дает нужной точности.

Предлагаемая методика позволяет определить коэффициент отражения, близкий к единице, с точностью порядка 0,001. Суть метода заключается в следующем.

Из зеркал, коэффициент отражения которых нужно измерить, образуют интерферометр Фабри — Пере. Для плоских зеркал с одинаковым коэффициентом отражения  $r$  интенсивность излучения, прошедшего через резонатор, будет описываться формулой [1]

$$I_{\text{вых}} = I_0 \frac{\tau_2}{(1-r)^2 + 4rs\sin^2 \frac{\delta}{2}}, \quad (1)$$



Блок-схема экспериментальной установки:

1 — ОКГ, 2 — интерферометр Фабри — Перо, 3 — согласующая линза, 4 — поляризационная развязка, 5 — приемная диафрагма, 6 — ФЭУ, 7 — осциллограф, 8, 10 — самописцы, 9 — источник питания.

между зеркалами и измеряя контрастность, можно определить величину коэффициента отражения зеркала. Точно так же можно определить коэффициенты отражения разных зеркал. В формулу (2) вместо  $r$  будет входить  $(r_1 r_2)^{1/2}$ .

Измерения проводились на установке, блок-схема которой показана на рисунке. Излучение Не-Не лазера, работающего в основной моде, через развязку и согласующую линзу попадает на интерферометр Фабри — Перо. Излучение, выходящее из интерферометра, попадает на ФЭУ, сигнал с которого подается на самописец. Изменение длины резонатора осуществляется при помощи пьезокерамического элемента. Напряжение с пьезокерамического элемента подается на горизонтальную развертку самописца. В связи с тем, что интерферометрическое измерение очень чувствительно к вибрациям, установка была собрана на голографическом столе СИН-1 и изолирована от воздушных потоков.

Так как  $r$  находится из измерений контрастности, то причины, приводящие к ее изменению, будут давать ошибку в определении  $r$ . К таким причинам следует отнести разъюстировку интерферометра и рассогласование параметров пучка и интерферометра. При рассогласовании происходит преобразование падающей основной гауссовой моды в моды резонатора [2]

$$\bar{\Psi}_{00} = \sum_m \sum_n C_{0n} C_{0m} \psi_m \psi_n, \quad (3)$$

где  $\bar{\Psi}_{00}$  — поле падающего пучка;  $\psi_m, \psi_n$  — поле мод резонатора;  $C_{0n}, C_{0m}$  — коэффициенты связи. В этом случае интенсивность прошедшего излучения будет иметь вид

$$I_{\text{вых}} = \left[ \sum_m \sum_n C_{0n} C_{0m} \tau_n \tau_m \psi_m \psi_n \right] \left[ \sum_m \sum_n C_{0n}^* C_{0m}^* \tau_n^* \tau_m^* \psi_m^* \psi_n^* \right] \quad (4)$$

( $\tau_n, \tau_m$  — комплексные коэффициенты пропускания интерферометра); частоты мод одинаковые;  $\tau_n, \tau_m$  отличаются между собой, так как моды различных индексов имеют различный фазовый набег [2]. Вследствие этого  $(I_{\text{вых}})_{\text{max}}$  уменьшается, а  $(I_{\text{вых}})_{\text{min}}$  увеличивается, что приводит в конечном итоге к ошибке в определении  $r$ . Точно такие же соображения применимы и в случае разъюстировки зеркал резонатора. Пользуясь результатами работ [3], можно вычислить коэффициенты разложения  $C_{0n}, C_{0m}$  для этого случая и оценить результат влияния разъюстировки на контрастность. Численные оценки погрешности в определении  $r$  представлены в таблице.

Экспериментальная проверка точности метода производилась следующим образом. Бралось пять зеркал и из них образовывались три комбинации: 1, 2, 3; 2, 4, 5; 2, 3, 4. В каждой комбинации для всех пар зеркал измерялась контрастность, а затем рассчитывался коэффициент отражения второго зеркала  $r_2$ . С целью исключения случайной ошибки для каждой пары было выполнено десять измерений. Причем в каждом из них заново производилась настройка и юстировка установки. Так как зеркала имеют различные коэффициенты отражения и разные радиусы кривизны, то по близости значений коэффициента отражения  $r_2$ , полученного из разных комбинаций, можно судить о точ-

При идеальном согласовании и юстировке	Рассогласование $\Delta L = 5$ мм	Разъюстировка сферического зеркала			Разъюстировка плоского зеркала
		$\delta = 20''$	$\delta = 40''$	$\delta = 60''$	
$R$	$\Delta R$	$\Delta R$	$\Delta R$	$\Delta R$	$\Delta R$
0,95	0,001	0,0003	0,0013	0,001	0,0003
0,99	0,0001	0,00008	0,0001	0,00017	0,00003
0,997	0,00008	0,00001	0,00003	0,00005	0,00002

где  $I_0$  — интенсивность падающего излучения,  $\tau$  — коэффициент пропускания зеркала,  $\delta = 2kl$  — фазовый набег,  $k$  — волновое число,  $l$  — расстояние между зеркалами.

Как видно из формулы (1), отношение

$$(I_{\text{вых}})_{\text{min}} / (I_{\text{вых}})_{\text{max}} = (1 - r)^2 / (1 + r)^2 \quad (2)$$

зависит только от коэффициента отражения зеркал. Следовательно, меняя расстояние

ности метода. В результате измерений получены следующие значения  $r^2$ :  $0,98628 \pm 0,00004$ ;  $0,98644 \pm 0,00004$ ;  $0,98623 \pm 0,00004$ . Средний разброс в пределах комбинаций получился  $0,0004$ , между комбинациями  $-0,00008$ . Ясно, что реальная ошибка измерения может быть, вообще говоря, больше. Как видно из таблицы, для коэффициента отражения  $0,99$  возможное в эксперименте рассогласование дает ошибку порядка  $10^{-4}$ . Такую же ошибку даст возможная разьюстировка интерферометра. Если считать, что погрешность измерительной схемы (ФЭУ, самописца и других) составляет  $3\%$ , то это даст ошибку  $3 \cdot 10^{-4}$ . Таким образом, суммарная ошибка составляет  $5 \cdot 10^{-4}$ .

## ЛИТЕРАТУРА

1. М. Борн, Э. Вольф. Основы оптики. М. «Наука», 1970. 855 с.
2. Х. Когельник. Коэффициенты связи и коэффициенты преобразования волн в оптических системах.— В кн.: Квазиоптика. (Избранные доклады на международном симпозиуме.) М., «Мир», 1966, с. 210—225.
3. П. В. Короленко. Возбуждение собственных типов колебаний резонатора Фабри — Перо внеосевой  $TEM_{00}$ -волной.— «Опт. и спектр.», 1971, т. 30, вып. 3, с. 496—502.

Поступило в редакцию 20 мая 1975 г.

УДК 621.375.8

В. П. БЕССМЕЛЬЦЕВ, В. Н. БУРНАШОВ,  
В. В. ВОРОБЬЕВ, В. А. ХАНОВ  
(Новосибирск)

## ФАЗОВАЯ АВТОПОДСТРОЙКА РАЗНОСТИ ЧАСТОТ ДВУХ ОКГ

Для ряда применений требуется поддерживать постоянной или перестраивать по определенному закону разность частот излучения двух оптических квантовых генераторов (ОКГ). Обычно это осуществляется с помощью схем автоподстройки с частотными детекторами [1—3]. Однако в случае перестройки разности частот по определенному закону желательно иметь систему автоподстройки с фазовым детектором (ФАПЧ), так как перестройка частотного детектора сопряжена с определенными трудностями. В работе [3] указано, что инерционность исполнительного устройства (пьезокерамики) и широкий спектр частот сигнала рассогласования в случае применения в системе АПЧ обычных фазовых детекторов приводит к возбуждению системы. В [4] дано краткое описание системы ФАПЧ (данных по фазовому детектору не приводится), кроме того, эта система имеет малый диапазон перестройки частоты регулируемого лазера.

В предлагаемом сообщении описывается система ФАПЧ с диапазоном перестройки частоты регулируемого лазера более 400 МГц, что необходимо при подстройке частоты бинения лазеров типа ЛГ-32 без специальных мер акусто- и виброзащиты. В системе использован фазовый детектор, подобный описанному в работе [5].

Блок-схема системы ФАПЧ представлена на рис. 1, где 1, 2 — опорный и подстраиваемый лазеры; 3 — система зеркал, совмещающих излучения лазеров на поверхности

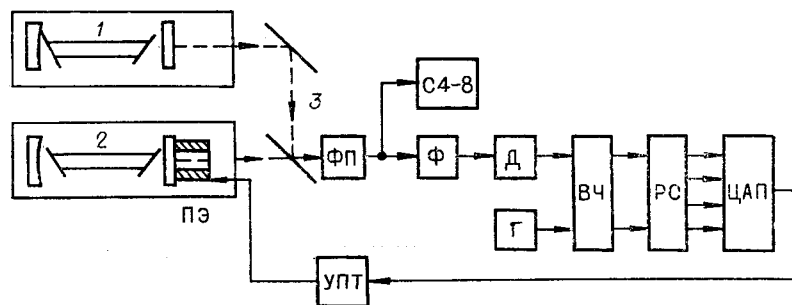


Рис. 1.